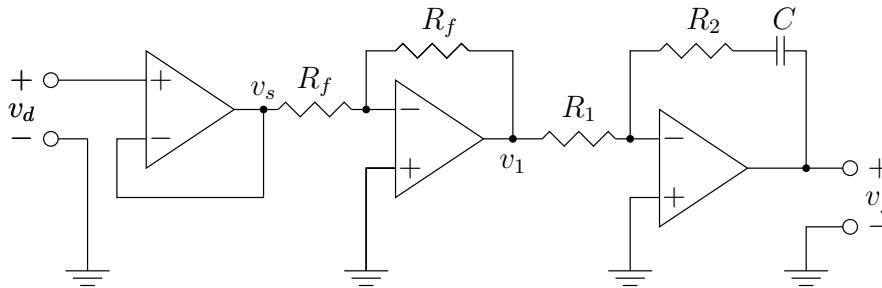


## Problema 2 (solución)

### Parte 1

Sean  $v_s$  y  $v_1$  las tensiones indicadas en la siguiente figura.



El filtro consta de:

- Un seguidor (para no cargar al detector de fase), por lo que  $\frac{V_s(s)}{V_d(s)} = 1$ .
- Un inversor, por lo que  $\frac{V_1(s)}{V_s(s)} = -1$ .
- Un bloque de transferencia  $\frac{V_f(s)}{V_1(s)} = -\frac{R_2Cs+1}{R_1C_2s} = -\frac{\tau_2s+1}{\tau_1s}$ , lo cual surge de plantear  $\frac{V_1(s)}{R_1} = \frac{-V_f}{R_2 \parallel \frac{1}{Cs}}$ .

Entonces la transferencia del filtro es:

$$F(s) = \frac{\tau_2s + 1}{\tau_1s}.$$

### Parte 2

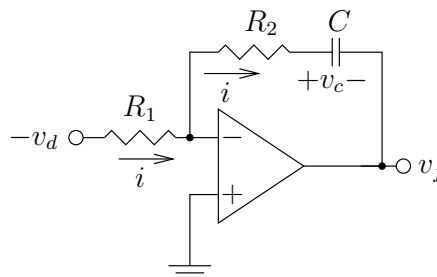
#### Detector de fase

Según el modelo simplificado del PLL,

$$v_d = K_d \text{sen}(\theta_r - \theta_o). \quad (1)$$

#### Filtro

Sean  $i$  y  $v_c$  la como se indican en la siguiente figura.



Se tiene que  $C\dot{v}_c = i$  y  $i = -\frac{v_d}{R_1} = -\frac{v_c+v_f}{R_2}$ , entonces

$$\dot{v}_c = -\frac{v_d}{R_1 C} = -\frac{v_d}{\tau_1}, \quad (2)$$

$$v_f = -v_c + \frac{R_2}{R_1} v_d = -v_c + \frac{\tau_2}{\tau_1} v_d. \quad (3)$$

### VCO

Según el modelo simplificado del PLL,

$$\dot{\theta}_o = \omega_o + K_0 v_f. \quad (4)$$

### Representación en variables de estado

De (1) – (4), eliminando  $v_d$  y  $v_f$  resulta la siguiente representación en variables de estado:

$$\frac{d}{dt} \begin{bmatrix} \theta_o \\ v_c \end{bmatrix} = \begin{bmatrix} \omega_o + K_o \left( -v_c + \frac{\tau_2}{\tau_1} K_d \text{sen}(\theta_r - \theta_o) \right) \\ -\frac{K_d}{\tau_1} \text{sen}(\theta_r - \theta_o) \end{bmatrix}, \quad (5)$$

$$\begin{bmatrix} \tilde{\theta}_o \\ \tilde{v}_c \end{bmatrix} = \begin{bmatrix} 1 & 0 \end{bmatrix} \begin{bmatrix} \theta_o \\ v_c \end{bmatrix}.$$

### Parte 3

Para  $\theta_r = \theta_r^0$  (constante dada), en equilibrio,

$$\begin{bmatrix} 0 \\ 0 \end{bmatrix} = \begin{bmatrix} \omega_o + K_o \left( -v_c + \frac{\tau_2}{\tau_1} K_d \text{sen}(\theta_r^0 - \theta_o) \right) \\ -\frac{K_d}{\tau_1} \text{sen}(\theta_r^0 - \theta_o) \end{bmatrix}.$$

Entonces los puntos de equilibrio  $(\theta_o, v_c) = (\theta_o^0, v_c^0)$ , correspondientes a  $\theta_r = \theta_r^0$ , son los que verifican:

$$\begin{cases} \theta_r^0 - \theta_o^0 = h\pi, \text{ con } h \in \mathbb{Z}, \\ v_c^0 = \frac{\omega_o}{K_o}. \end{cases} \quad (6)$$

### Parte 4

Linealizando (5) en torno a  $(\theta_o, v_c) = (\theta_o^0, v_c^0)$  tal que (6),

$$\frac{d}{dt} \begin{bmatrix} \tilde{\theta}_o \\ \tilde{v}_c \end{bmatrix} = \begin{bmatrix} -\frac{\tau_2}{\tau_1} K_d K_o \cos(\theta_r^0 - \theta_o^0) & -K_o \\ \frac{K_d}{\tau_1} \cos(\theta_r^0 - \theta_o^0) & 0 \end{bmatrix} \begin{bmatrix} \tilde{\theta}_o \\ \tilde{v}_c \end{bmatrix} + \begin{bmatrix} \frac{\tau_2}{\tau_1} K_d K_o \cos(\theta_r^0 - \theta_o^0) \\ -\frac{K_d}{\tau_1} \cos(\theta_r^0 - \theta_o^0) \end{bmatrix} [\tilde{\theta}_r],$$

$$\begin{bmatrix} \tilde{\theta}_o \\ \tilde{v}_c \end{bmatrix} = \begin{bmatrix} 1 & 0 \end{bmatrix} \begin{bmatrix} \tilde{\theta}_o \\ \tilde{v}_c \end{bmatrix},$$

o equivalentemente:

$$\frac{d}{dt} \begin{bmatrix} \tilde{\theta}_o \\ \tilde{v}_c \end{bmatrix} = \begin{bmatrix} -\frac{\tau_2}{\tau_1} K_d K_o (-1)^h & -K_o \\ \frac{K_d}{\tau_1} (-1)^h & 0 \end{bmatrix} \begin{bmatrix} \tilde{\theta}_o \\ \tilde{v}_c \end{bmatrix} + \begin{bmatrix} \frac{\tau_2}{\tau_1} K_d K_o (-1)^h \\ -\frac{K_d}{\tau_1} (-1)^h \end{bmatrix} [\tilde{\theta}_r], \quad (7)$$

$$\begin{bmatrix} \tilde{\theta}_o \\ \tilde{v}_c \end{bmatrix} = \begin{bmatrix} 1 & 0 \end{bmatrix} \begin{bmatrix} \tilde{\theta}_o \\ \tilde{v}_c \end{bmatrix}.$$

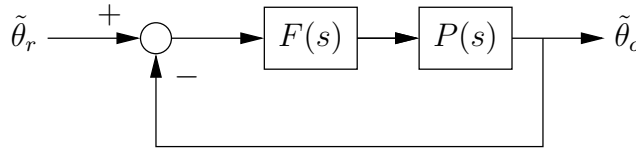
## Parte 5

Aplicando transformada de Laplace (con condiciones iniciales nulas) a (7), eliminando  $V_c(s)$  y operando, se obtiene la función de transferencia de lazo cerrado:

$$T(s) \triangleq \frac{\tilde{\theta}_o(s)}{\tilde{\theta}_r(s)} = \frac{\frac{K(-1)^h}{\tau_1} (1 + \tau_2 s)}{s^2 + \frac{\tau_2}{\tau_1} K (-1)^h s + \frac{K(-1)^h}{\tau_1}}, \quad (8)$$

donde  $K \triangleq K_d K_o$ .

Se pide verificar que el modelo linealizado del PLL se puede representar mediante el siguiente diagrama de bloques, donde  $F(s)$  es la función de transferencia del filtro hallada en la parte 1, y  $P(s)$  es una función de transferencia a determinar.



Sea  $L(s) \triangleq F(s)P(s)$ . Como la función de transferencia de lazo cerrado es  $T(s) = \frac{L(s)}{1+L(s)}$ , despejando  $L(s)$ , sustituyendo  $T(s)$  (dada por (8)) y operando, resulta

$$L(s) = \frac{T(s)}{1 - T(s)} = \underbrace{\left( \frac{\tau_2 s + 1}{\tau_1 s} \right)}_{F(s)} \left( \frac{K (-1)^h}{s} \right).$$

En la expresión anterior se identifica el factor  $F(s)$  correspondiente al filtro, así que  $P(s)$  debe ser el factor restante:

$$P(s) = \frac{K (-1)^h}{s}.$$

## Parte 6

Para que  $T(s)$  sea estable, todos sus polos deben tener parte real negativa. Los polos de  $T(s)$  son las raíces de  $s^2 + \frac{\tau_2}{\tau_1} K (-1)^h s + \frac{K(-1)^h}{\tau_1}$ . Aplicando el criterio de estabilidad de Routh-Hurwitz, se concluye que  $T(s)$  es estable si y solo si  $h$  es par. Por lo que los posibles puntos de equilibrio  $(\theta_o, v_c) = (\theta_o^0, v_c^0)$  a elegir como punto de operación, son los de la forma (6) con  $h$  par. Como para todo  $h$  par, la función de transferencia del modelo linealizado es la misma, por simplicidad, se toma  $h = 0$  para elegir  $(\theta_o, v_c) = \left( \theta_r^0, \frac{\omega_0}{K_o} \right)$  como punto de operación.

## Parte 7

Para el punto de operación elegido,

$$T(s) = \frac{\tilde{\theta}_o(s)}{\tilde{\theta}_r(s)} = \frac{\frac{K}{\tau_1} (1 + \tau_2 s)}{s^2 + \frac{\tau_2}{\tau_1} K s + \frac{K}{\tau_1}} = \frac{\omega_n^2 \left( 1 + \frac{2\zeta}{\omega_n} s \right)}{s^2 + 2\zeta\omega_n s + \omega_n^2},$$

donde se introdujeron la frecuencia natural,  $\omega_n$ , y la relación de amortiguamiento,  $\zeta$ , del sistema realimentado:

$$\omega_n \triangleq \sqrt{\frac{K}{\tau_1}},$$

$$\zeta \triangleq \frac{\tau_2}{2} \sqrt{\frac{K}{\tau_1}} = \frac{\tau_2}{2} \omega_n.$$

Para que se cumpla  $\zeta = \frac{1}{\sqrt{2}}$  y  $\omega_n = 10^4 \text{ rad/s}$ , se debe tomar  $K$ ,  $\tau_1$  y  $\tau_2$  de forma tal que

$$\begin{cases} \sqrt{\frac{K}{\tau_1}} = 10^4 \text{ s}^{-1}, \\ \tau_2 = \frac{\frac{2}{\sqrt{2}}}{\sqrt{\frac{K}{\tau_1}}} = \frac{\frac{2}{\sqrt{2}}}{10^4} \text{ s} \approx 141,4 \mu\text{s}. \end{cases}$$

## Parte 8

### Margen de fase y margen de ganancia

La función de transferencia de lazo abierto,  $L(s)$ , puede expresarse en términos de  $\zeta$  y  $\omega_n$  de la siguiente forma:

$$L(s) = \left( \frac{1 + \tau_2 s}{\tau_1 s} \right) \left( \frac{K}{s} \right) = \frac{K}{s^2} (1 + \tau_2 s) = \frac{\omega_n^2}{s^2} \left( 1 + \frac{2\zeta}{\omega_n} s \right).$$

Como para el diseño del punto anterior se impuso  $\zeta = \frac{1}{\sqrt{2}}$ , se tiene que

$$L(s) = \frac{\omega_n^2}{s^2} \left( 1 + \frac{\frac{2}{\sqrt{2}}}{\omega_n} s \right).$$

Sea  $\omega_c$  tal que  $|L(j\omega_c)| = 1$ , entonces

$$\frac{\omega_n^2}{\omega_c^2} \sqrt{1 + 2 \frac{\omega_c^2}{\omega_n^2}} = 1.$$

Introduciendo  $x \triangleq \left( \frac{\omega_n}{\omega_c} \right)^2 > 0$ ,

$$\frac{1}{x} \sqrt{1 + 2x} = 1 \implies \sqrt{1 + 2x} = x \implies 1 + 2x = x^2 \implies x^2 - 2x - 1 = 0.$$

Resolviendo para  $x$  y descartando la solución negativa, se obtiene  $x = \frac{2 + \sqrt{8}}{2}$ . Entonces, la frecuencia de cruce de ganancia es

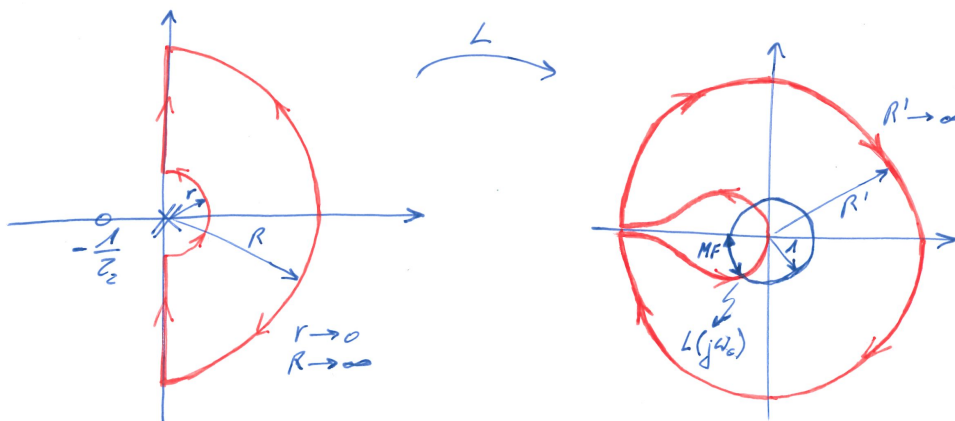
$$\omega_c = \omega_n \sqrt{\frac{2 + \sqrt{8}}{2}} \approx 15\,538 \text{ rad/s},$$

donde se usó que  $\omega_n = 10^4 \text{ rad/s}$  según el diseño de la parte anterior.

El margen de fase del sistema realimentado es:

$$\text{MF} = \angle(L(j\omega_c)) + \pi = -\pi + \arctan\left(\frac{\frac{2}{\sqrt{2}}}{\omega_n} \omega_c\right) + \pi = \arctan\left(\sqrt{2 + \sqrt{8}}\right) \approx 65,5^\circ.$$

El margen de ganancia del sistema realimentado es infinito, ya que el diagrama de Nyquist de  $L(s)$  no intersecta el eje real negativo:



## Error en régimen

Se pide calcular el error en régimen ante entradas de la forma:

a)  $\tilde{\theta}_r(t) = A\mathbb{1}(t)$ ,

b)  $\tilde{\theta}_r(t) = At\mathbb{1}(t)$ ,

c)  $\tilde{\theta}_r(t) = A\frac{t^2}{2}\mathbb{1}(t)$ ,

El sistema realimentado es estable y de tipo 2 (ya  $L(s)$  tiene dos polos en  $s = 0$ ). Por lo tanto, el error en régimen es nulo ante entradas de la forma a) y b).

La constante de aceleración es

$$K_a = \lim_{s \rightarrow 0} s^2 L(s) = \omega_n^2 = 10^8 \text{ s}^{-2},$$

por lo que el error en régimen ante entradas de la forma c) es  $\frac{A}{\omega_n^2} = 10^{-8} A$ .

## Parte 9

Al introducir el capacitor de capacidad  $C_f$ , según se indica, se agrega un factor  $\frac{1}{1+\tau_f s}$  a la transferencia de filtro:

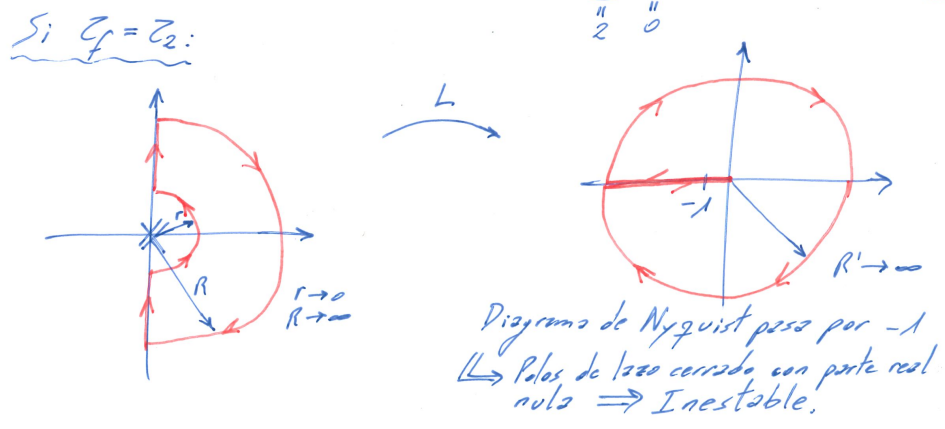
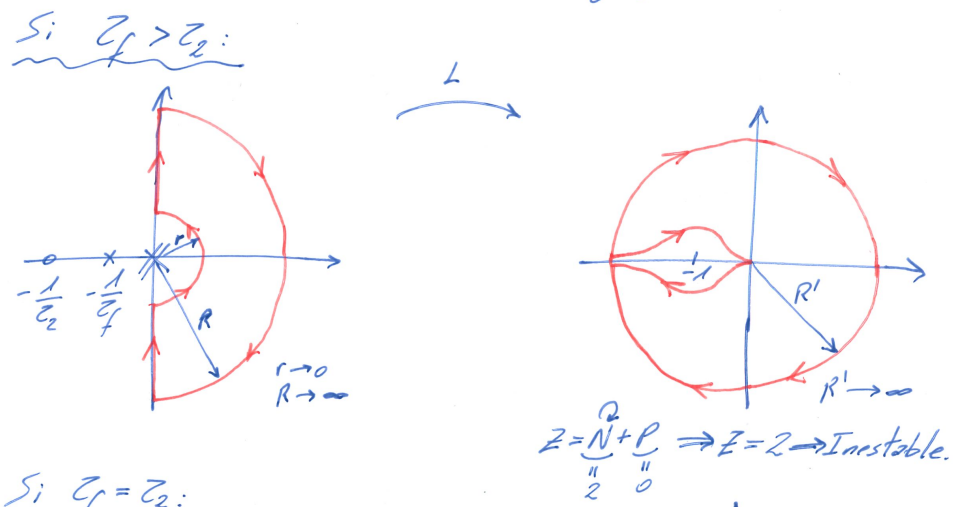
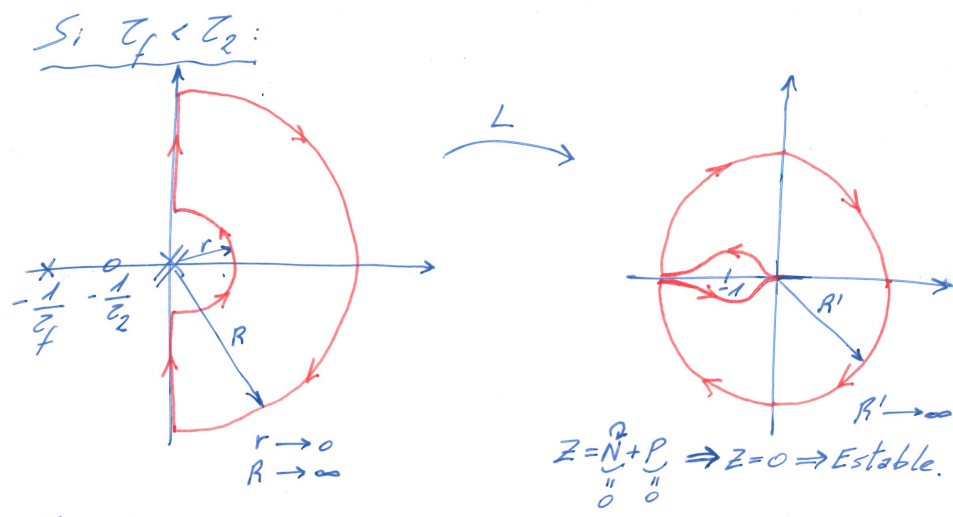
$$F(s) = \frac{1}{1 + \tau_f s} \left( \frac{1 + \tau_2 s}{\tau_1 s} \right).$$

La transferencia de lazo abierto se convierte entonces en:

$$L(s) = F(s)P(s) = \left( \frac{K}{\tau_1} \right) \frac{1 + \tau_2 s}{s^2 (1 + \tau_f s)} = \left( \frac{K\tau_2}{\tau_1 \tau_f} \right) \frac{s + \frac{1}{\tau_2}}{s^2 \left( s + \frac{1}{\tau_f} \right)}.$$

Aplicando el criterio de Nyquist, se concluye que el sistema realimentado es estable si y solo si  $\tau_f$  se elige de forma tal que

$$\tau_f < \tau_2 \approx 141,4 \mu\text{s}. \quad (9)$$



Para no afectar significativamente el margen de fase antes calculado, hay elegir el nuevo polo del filtro al menos una década por encima de la frecuencia de cruce de ganancia:

$$\frac{1}{\tau_f} > 10\omega_c \Rightarrow \tau_f < \frac{1}{10\omega_c} \approx 6,435 \mu\text{s.}$$

Por otro lado, para que la atenuación de armónicos de alta frecuencia sea lo más efectiva posible, conviene que la frecuencia  $\frac{1}{\tau_f}$  se elija lo más pequeña que sea posible.

Por lo anterior, se elige:

$$\tau_f = \frac{1}{10\omega_c} \approx 6,435 \mu\text{s.} \tag{10}$$

Si  $\tau_f$  se elige respetando (9), la modificación del filtro no tiene efecto sobre el margen de ganancia, que sigue siendo  $\infty$  (porque el diagrama de Nyquist de  $L(s)$  sigue sin intersectar al eje real negativo). Este es justamente el caso, según la elección (10)